

実験トランジスタ・アンプ設計講座

黒田 徹

●実用技術編

第10章 回路シミュレータ SPICE 入門 (30)

クロスシャント PP 方式とは

これはソニーでクロマトン方式テレビなどの研究開発に従事された島田聡氏が、東京工業大学在学中の1952年に考案し、『ラジオ技術』誌に発表された回路(第1図)で、各出力管のカソードと反対側のプレートとを、おのおの大容量のコンデンサで結び、プレート・カソード間に負荷を接続したものです⁽¹⁾。

- (1) 出力段の内部抵抗 r_p と負荷抵抗 R_L が標準PP回路の1/4になる(第2図参照)
- (2) 3極管でも5極管でもOK
- (3) 出力電圧の50%がカソードに電圧負帰還されるので、出力インピーダンスが低く、かつ低ひずみ率
- (4) リークエージ・インダクタンスの多い出力トランスを用いても、スイッチング・トランジ

ェントひずみを生じない

- (5) 出力トランスを省くことも可能(第1図(C)(D)参照)

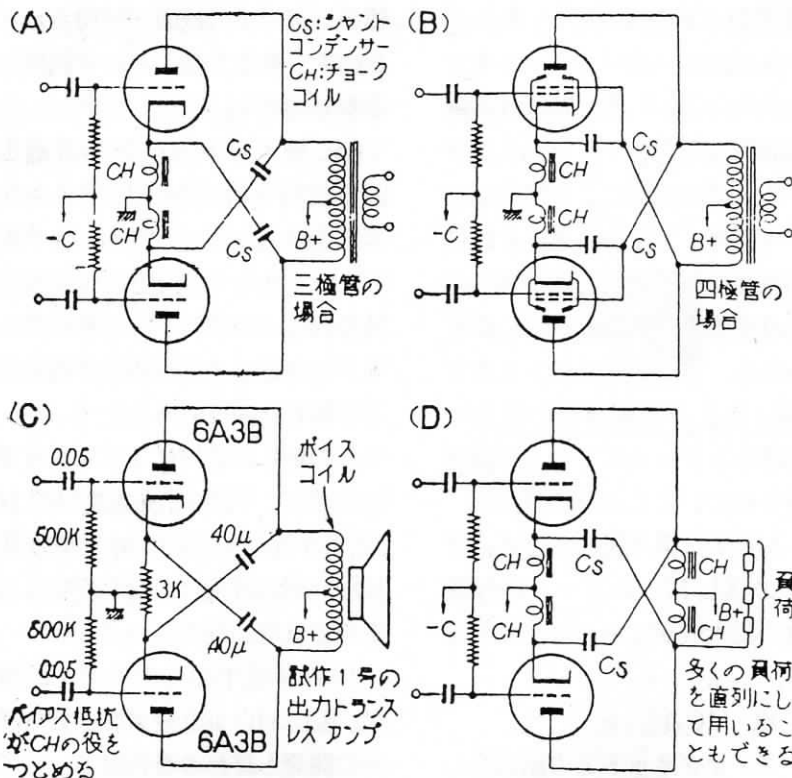
島田氏の第1号試作アンプ

島田氏はクロスシャントPPアンプを2機種製作されています。第1号機の回路図を第3図に示します。ご覧のとおり、エレガントなOTLアンプです。

(1) 使用真空管

12 AH 7は増幅率 $\mu=16$ の双3極管です(第1表参照)。プレート特性曲線が不明なので断定できませんが、 μ は6 SN 7と同等で、 g_m は6 SN 7(第4図参照)よりやや大きいようです。励振管の12 SX 7は12 SN 7相当の双3極管で、電気的特性は6 SN 7と同じです。

出力管の6 A 3 B(マツダ)は、直熱管2 A 3のヒータを6.3 V/1.6 Aの傍熱型にしたもので⁽²⁾、電気的特性は2 A 3とほとんど同じです。



〈第1図〉クロスシャント回路のいろいろ(本誌1952年11月号より)

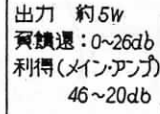
プレート電圧	180 V
グリッド電圧	-6.5 V
増幅率 μ	16
プレート抵抗 r_p	8.4 k Ω
伝達コンダクタンス g_m	1.9 mS
プレート電流	7.6 mA

〈第1表〉12 AH 7のA級増幅動作例
(<http://hereford.ampr.org/cgi-bin/tube?tube=12AH7>より)

負荷としては、島田氏は8インチの自作スピーカのボイス・コイル

各出力管のカソードから $20\text{ k}\Omega$

を介し、 V_3 および V_4 のカソードに NFB が掛けられています。帰還量は VR_4 によって調整できます。す



145

(6) 第8図回路のひずみ率特性

第8図の回路に1 kHz/2.3 Vのサイン波を入力したときの出力電圧波形(第9図)のフーリエ解析結果を第13図に示します。

基本波: 48.7 V

3次高調波: 2.07 V

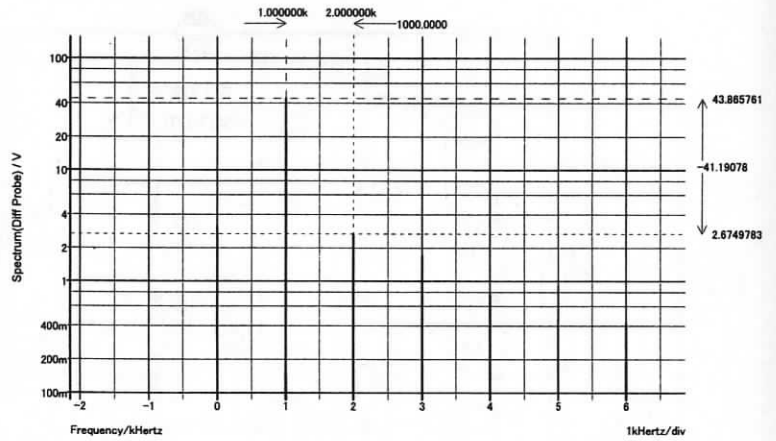
となっています。すなわち第3調波ひずみ率=4.2%です。ちなみに、第2調波ひずみ率はゼロです。

(7) オリジナル回路の周波数特性

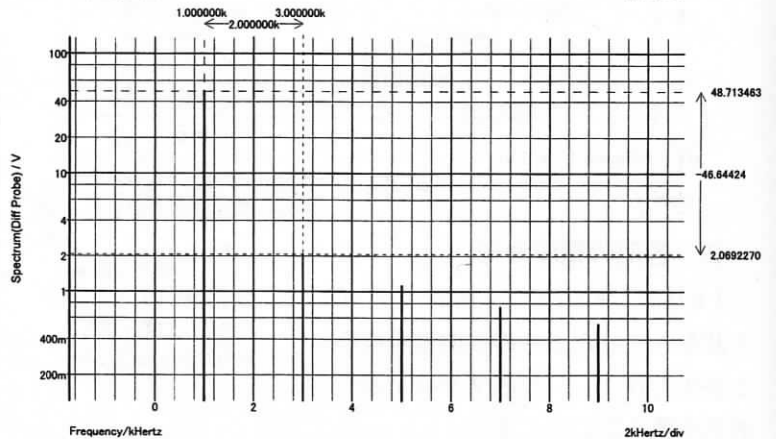
第5図回路の周波数特性を第14図に示します。高域は1 MHzで+0.4 dBのピークがありますが、安定性は問題ありません。低域の周波数特性はよくありません。10 Hzにおいて8 dB減衰しています。また、2 Hz付近に共振峰があります。

低域レスポンスの低下は、クロスシャント回路のキャパシタ C_6 と C_7 の値が不足しているためです。

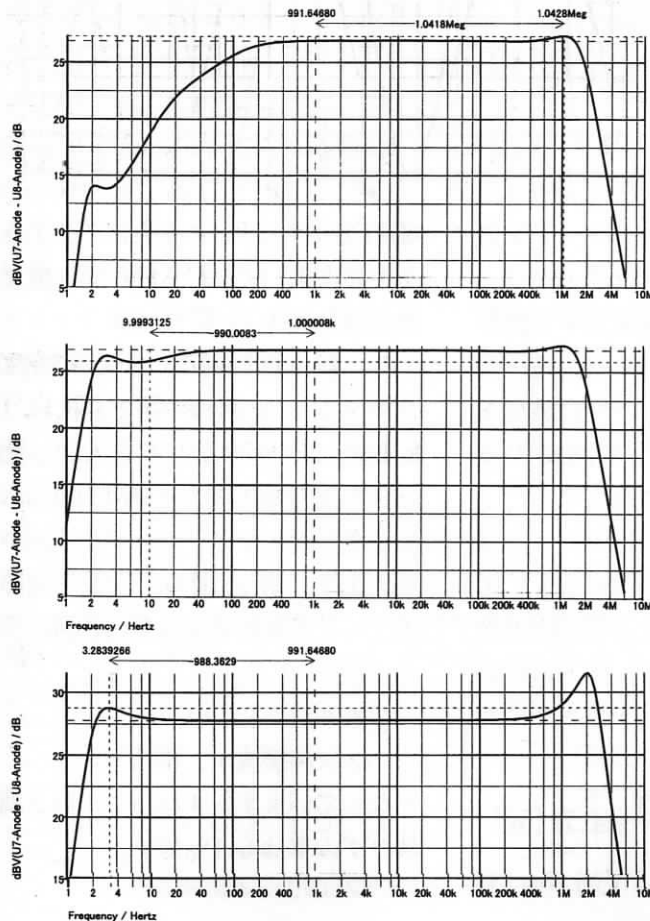
〈第12図〉
第11図の
出力電圧波
形のフーリ
エ解析結果



〈第13図〉
第9図の出力電圧波形のフーリエ解析結果



(8) C_6 と C_7 の値を増やす C_6 と C_7 を470 μ Fに変更したときの周波数特性を第15図に示します



〈第14図〉
第5図の回路の周波数特性

〈第15図〉
第5図の C_6 , C_7 を470 μ Fとしたときの周波数特性

〈第16図〉
第8図の C_6 , C_7 を470 μ Fとしたときの周波数特性

す。10 Hzのゲイン低下は1 dBに収まっています。

ちなみに、第8図回路において C_6 と C_7 を470 μ Fに変更したときの周波数特性を第16図に示します。広帯域ですが、3.2 Hzにおいて+1 dB, 2 MHzにおいて+3.7 dBのピークがあります。

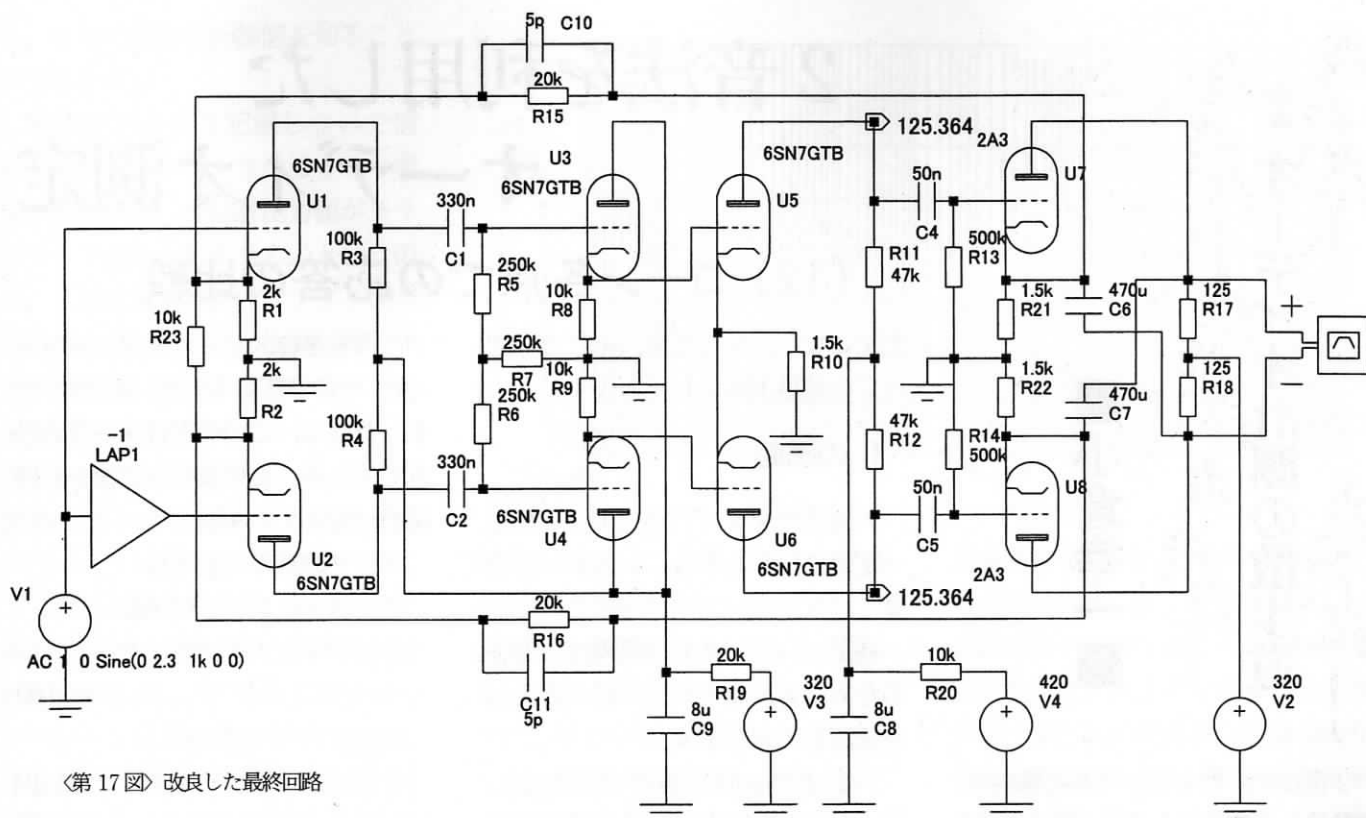
回路をさらに改良する

第5図の回路も第8図の回路も、ひずみ率特性と周波数特性が芳しくないので、回路定数を変えてみました。最終改良回路を第17図に示します。変更した箇所は以下のとおりです。

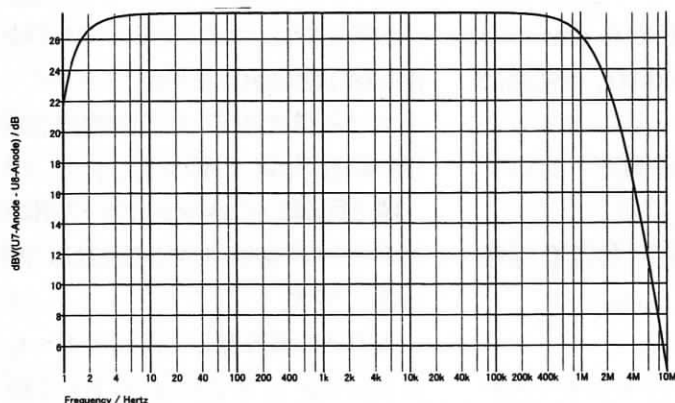
- C_1 , C_2 : 0.1 μ F \rightarrow 0.33 μ F
- C_6 , C_7 : 40 μ F \rightarrow 470 μ F
- R_{11} , R_{12} : 100 k Ω \rightarrow 47 k Ω
- $C_3=100$ μ Fを除去
- R_{15} と R_{16} に5 pFを並列接続

(1) 周波数特性

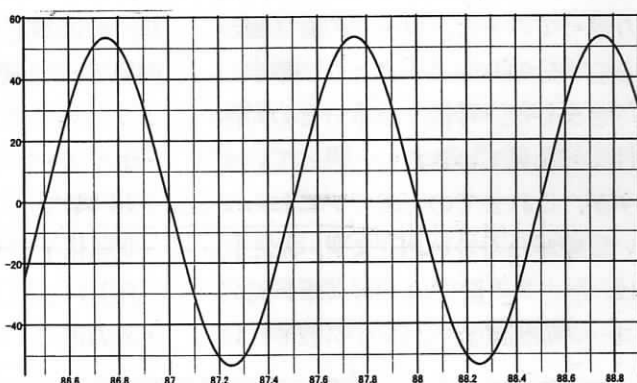
最終改良回路の周波数特性を第18図に示します。ピークは完全に取



〈第 17 図〉 改良した最終回路



〈第 18 図〉 第 17 図の回路の周波数特性



〈第 19 図〉 第 17 図の回路の出力電圧波形

れました。

(2) 出力電圧波形

最終改良回路の出力電圧波形を第 19 図に示します。ノッチングひずみが消え、そして最大出力電圧が少し

増えて 37.51 V_{RMS} になりました。その結果、無ひずみ最大出力電力は 4.71 W から 5.6 W に増えました。第 19 図の出力電圧波形のフーリエ解析結果を第 20 図に示します。

基本波：53.0 V

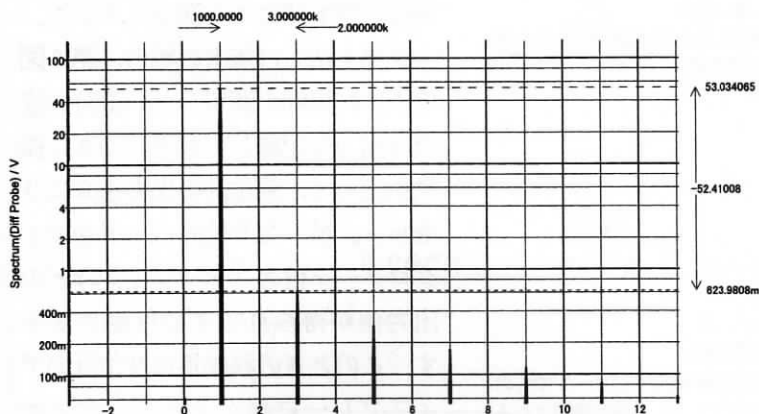
3 次高調波：0.624 V

となっています。すなわち、第 3 調波ひずみ率=1.17%です。第 8 図回路より 12 dB ほど減っています。

真空管や回路構成を変更すれば、ひずみ率をもっと下げられるでしょう。

■引用文献■

- (1) 島田聡；「クロス・シャント PP 回路を使った 6 A 3 BPP と 6 AR 6 PP の試作」，ラジオ技術 1952 年 11 月号，pp.68-75。(編注) 前号「復刻シリーズ」p.166 以下参照。
- (2) http://radiomann.hp.infoseek.co.jp/HomePageVT/Radio_tube_2.html#UY6A3B



〈第 20 図〉 第 19 図の波形のフーリエ解析結果